



БИООРГАНИЧЕСКАЯ ХИМИЯ

том 6 * № 3 * 1980

УДК 577.156.41.02

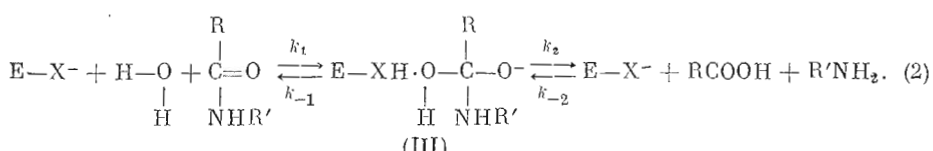
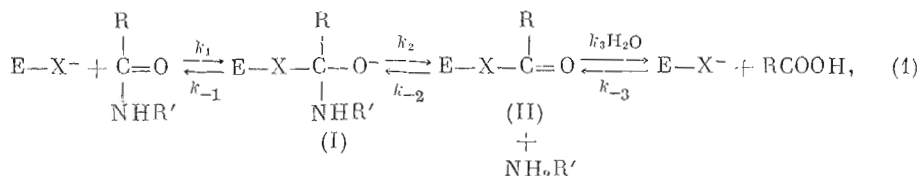
КАК РАЗЛИЧИТЬ КОВАЛЕНТНЫЙ И ОБЩИЙ ОСНОВНОЙ МЕХАНИЗМЫ ФЕРМЕНТАТИВНОГО ГИДРОЛИЗА? *

*Аитонов В. К., Гинодман Л. М., Румиц Л. Д.,
Капитаников Ю. В., Баршевская Т. Н., Явашев Л. П.,
Гурова А. Г., Волкова Л. И.*

*Институт биоорганической химии им. М. М. Шемякина
Академии наук СССР, Москва*

Предложены методы, позволяющие различить ковалентный и общий основной механизмы гидролиза, катализируемого протеолитическими ферментами. Методы основаны на анализе данных по включению тяжелого кислорода в продукты катализируемой протеазами реакции трансептидации по типу ацильного переноса, непротролизованный субстрат, каталитически активные группы фермента, а также на сравнении скоростей катализируемого протеазами обмена атомов кислорода на ^{18}O в карбоксильной группе ацильного продукта гидролиза в отсутствие и в присутствии второго, аминного продукта гидролиза. Эти методы применены для анализа механизма действия пепсина и лейцинаминопептидазы. Показано, что оба фермента функционируют по типу общего основного катализа, т. е. каталитически активные группы способствуют отщеплению протона от молекулы воды, атакующей гидролизуемую связь. Обсуждается структура промежуточных соединений при таком типе катализа.

Несмотря на значительный прогресс в изучении структуры и механизма действия протеолитических ферментов, ряд важнейших вопросов оставался до недавнего времени практически не решенным. Сюда относится в первую очередь вопрос о характере каталитического действия нуклеофильных групп активного центра на стадии расщепления гидролизуемой связи. Эти группы могут функционировать в качестве ковалентного (нуклеофильного) катализатора, непосредственно атакуя карбонильный атом углерода гидролизуемой связи (схема 1), или в качестве общего основного катализатора, способствуя отщеплению протона от молекулы воды, атакующей субстрат (схема 2).



* Предварительные результаты этой работы сообщены в [1-3].

Доказать ковалентный механизм катализа довольно легко лишь в тех случаях, когда скорость образования промежуточного «ацил-фермента» (II) существенно больше скорости его распада. Такое положение наблюдается при катализируемом сериновыми [4] или тиоловыми [5] протеазами гидролизе эфиров. Однако уже для пептидных субстратов этих ферментов задача оказывается значительно более сложной, поскольку в этом случае промежуточный «ацил-фермент» не накапливается в ходе гидролиза. Долгое время существовали противоречивые мнения [4, 6] относительно справедливости ацил-ферментного механизма гидролиза пептидных субстратов α -химотрипсином. Лишь в 1973 г. в нашей лаборатории [7] были получены доказательства тождественности механизмов катализируемого α -химотрипсином гидролиза эфирных и амидных субстратов на основе сравнения скоростей включения меченых продуктов гидролиза и тяжелого кислорода воды в субстрат в состоянии термодинамического равновесия системы. Независимо и практически одновременно, но на основе другого подхода к тем же выводам пришли авторы работы [8].

В данной работе мы предлагаем несколько новых подходов, позволяющих различить ковалентный и общий основной механизмы гидролиза амидной связи. Эти подходы были нами апробированы на примере исследования пепсина (КФ 3.4.23.1) и лейцинамиопептидазы (КФ 3.4.11.1).

1. Исследование включения тяжелого кислорода воды в продукты катализируемой ферментом транспептидации типа ацильного переноса. Как видно из схемы 1, при ковалентном катализе вода участвует только на стадии расщепления «ацил-фермента» (II) и поэтому перенос ацильного фрагмента на акцептор (или трансцептидация) не должен сопровождаться включением тяжелого кислорода из воды в продукт переноса. Если же вода участвует на первой стадии реакции (схема 2), тяжелый кислород воды включается в карбоксильную группу продукта гидролиза, который затем, реагируя с акцептором, переносит метку в продукт транспептидации. Таким образом, наличие или отсутствие ^{18}O в карбонильной группе продукта транспептидации свидетельствует соответственно об общем основном или ковалентном типе катализа.

2. Исследование включения тяжелого кислорода воды в непрогидролизованный субстрат. Этот метод широко применялся при изучении неферментативного гидролиза [9] и оказывается успешным в тех случаях, когда скорость распада промежуточных тетраэдрических аддуктов в направлении исходного субстрата выше, чем скорость его распада до продукта реакции (т. е. $k_{-1} \gg k_2$). Таким образом, обнаружение включения ^{18}O в субстрат свидетельствует в пользу общего основного механизма, тогда как отсутствие такого включения не дает оснований для ответа на вопрос о типе катализитического механизма.

3. Исследование скорости обмена кислорода в карбоксильной группе ацильного продукта гидролиза на ^{18}O из воды в отсутствие и в присутствии второго, аминного продукта реакции. Как известно [10, 11], многие протеолитические ферменты катализируют обмен атомов кислорода в карбоксильной группе ацильного продукта гидролиза на ^{18}O из тяжелокислородной воды. Если в систему ввести второй аминный продукт гидролиза, то наряду с реакцией обмена будет проходить обратимая реакция синтеза-гидролиза амидной связи, также приводящая к обмену кислорода в карбоксильной группе ацильного продукта. Если последняя реакция проходит через ковалентный «ацил-фермент» (II), то она не может ускорить процесс обмена, так как вода не участвует на стадии образования амидной связи. Если же реакция идет по схеме 2 и скорость синтеза-гидролиза превышает скорость собственного обмена, то введение аминного продукта должно повышать наблюдаемую скорость обмена атомов кислорода в карбоксильной группе ацильного фрагмента субстрата.

4. В тех случаях, когда группа X (схема 1 и 2) – карбоксильная, дополнительное свидетельство общего основного механизма катализа можно

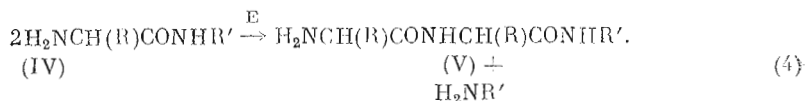
получить, исследуя включение ^{18}O в карбоксильные группы активного центра фермента. В случае пепсинового катализа такое исследование важно еще и потому, что этот фермент катализирует реакции аминопереноса (схема 3) [12]:



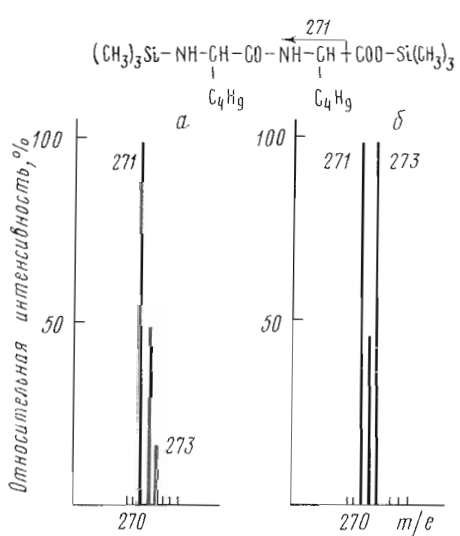
Предполагалось [13], что промежуточным продуктом такой реакции является «аминофермент» — продукт ацилирования аминного фрагмента субстрата ферментом ($E-CONHR'$).

Итак, для однозначного суждения о механизме ферментативного гидролиза необходимо использовать несколько независимых подходов. Все перечисленные выше методы были использованы нами для изучения механизма действия свиного липептина и первые два метода — для заключения о механизме действия лейцинаминопептидазы из хрусталика глаза быка.

Как пепсин, так и лейцинаминопептидаза катализируют реакции транспептидации по типу ацильного переноса:



Так, например, инкубация *L*-лейцил-*L*-тироzinамида (IV, R=CH₂CHMe₂, R'=CH(CH₂C₆H₄OH)CONH₂) с пепсином при pH~3,5 дает с выходом окон-



Масс-спектр TMS-Leu-Leu-OTMS в области m/e 271: α — образец, не содержащий изотопа ^{18}O ; β — опытный образец

ло 25% L-лейцил-L-лейцин [14], образующийся из трипептида (V) путем отщепления C-концевого тирозинамида. Образование этого соединения из продукта гидролиза субстрата — лейцина практически исключено в силу очень неблагоприятной константы равновесия такой реакции.

Максимальный выход продукта транспептидации достигается при инкубации субстрата с пепсином в течение 72 ч. При этом наблюдается заметный автолиз пепсина. Чтобы облегчить выделение продукта реакции, использовали субстрат, содержащий $[^{14}\text{C}]$ -лейцин. Реакцию проводили в тяжелокислородной воде с содержанием ^{18}O 50—90 ат. %.

Поскольку в продукте транспептидации (H-Leu-Leu-OH) тяжелокислородная метка содержится связи, так и в С-концевой карбок-

как в карбонильной группе пептидной связи, так и в С-концевой карбоксильной группе, продукт трансспептидации, исследуемый методом хромато-масс-спектрометрии, модифицировали превращением в летучие производные: метиловый эфир трифторацетиллейцина и триметилсилильное производное (рисунок). В нашем предварительном сообщении [2] приведено еще несколько способов трансформации продукта трансспептидации, удобных для определения ^{18}O методом активационного анализа [15]. Однако эти методы дали завышенные результаты содержания ^{18}O в образцах.

Содержание ^{18}O в непропидролизованном субстрате определяли тем же методом, используя N-лаурилпроизводное дипептида, а также методом масс-спектрометрии с ионизацией полем.

Таблица 1

Хромато-масс-спектрометрический анализ включения ^{18}O в образцы, полученные при проведении катализируемой пепсином реакции транспептидации

Исследуемое вещество	Анализируемая форма	m/e	Содержание ^{18}O в воде, ат.%	Показатели включения ^{18}O		Обмен *, %
				теория	опыт	
H-Leu-Leu-OH	TFA-Leu-Leu-OMe	212	75	0,75	$0,49 \pm 0,06$	65 ± 12
	TMS-Leu-Leu-OTMS	273	80	0,8	$0,45 \pm 0,04$	56 ± 10
H-Leu-Tyr-NH ₂	Laur-Leu-Tyr-NH ₂	298	80	0,8	$0,40 \pm 0,03$	13 ± 4
	TMS-Leu-Tyr-NHTMS	465	75	0,75	$0,067 \pm 0,01$	$9 \pm 1,5$

* В расчете на 100% H_2^{18}O .

Таблица 2

Анализ включения ^{18}O в образцы, полученные при проведении катализируемой лейцинаминопептидазой реакции транспептидации *

Исследуемое вещество	Содержание ^{18}O в исходном Leu-NH ₂ , ат.%	Содержание ^{18}O в H_2O , ат.%	Показатели включения ^{18}O		Обмен, %
			теория	опыт	
H-Leu-Leu-NH ₂	—	62	0,62	$0,28 \pm 0,03$	46 ± 5
H-Leu-Leu-NH ₂	67	—	0	$0,30 \pm 0,03$	55 ± 5
H-Leu-NH ₂	—	62	0,62	$0,31 \pm 0,03$	49 ± 5

* Содержание ^{18}O определяли методом масс-спектрометрии с ионизацией подем.

Как видно из полученных результатов (табл. 1), происходит включение ^{18}O в пептидную связь продукта транспептидации; наблюдается также включение метки и в непрогидролизованный субстрат.

При инкубации *L*-лейциамида с лейцинаминопептидазой при pH 8,5 (концентрация фермента 0,5 мкМ) в тяжелокислородной воде максимальный выход продукта транспептидации — *L*-лейцил-*L*-лейциамида достигается через 2 мин. Были проведены опыты также с H-Leu-NH₂, предварительно обогащенным изотопом ^{18}O . Как и для субстратов пепсина (табл. 2), наблюдается включение ^{18}O в продукт транспептидации и в непрогидролизованный субстрат.

Пепсин, как и лейцинаминопептидаза, катализирует обмен кислорода в карбоксильных группах ацильных продуктов гидролиза амидной связи [10, 16, 17]. Высказывалось мнение, что катализируемый некоторыми пептид-гидролазами (например, карбоксипептидазой А) обмен кислорода происходит исключительно за счет обратимого синтеза-гидролиза пептидной связи с участием аминокислот — продуктов автолиза фермента [41]. Учитывая это, с целью проверки способности пепсина катализировать обмен кислорода при отсутствии реакции синтеза-гидролиза, мы исследовали кислородный обмен в N-ацетил-*L*-фенилаланине, катализируемый пепсином, иммобилизованным на аминопропилсилохроме C-80, обработанном солями титана [17] и тщательно отмытым от возможных примесей сопутствующих пептидов. Было показано, что иммобилизованный пепсин катализирует обмен кислорода в N-ацетил-*L*-фенилаланине (табл. 3). Добавление в реакционную смесь трипептида — метилового эфира *L*-фенилаланил-*L*-аланил-*L*-аланина увеличивает скорость обмена приблизительно в 2 раза. Стереоизомерный D-Phe-Ala-Ala-OMe не изменяет скорости обмена кислорода в N-ацетилфенилаланине.

Таблица 3

Масс-спектрометрический анализ скорости обмена ^{18}O в ацетилфенилаланине и лейцине

Субстрат	Катализатор и добавки	m/e	Содержание ^{18}O в воде, ат. %	Время инкубации, мин	Показатели обмена ^{18}O *		Константа скорости обмена, мин $^{-1}$
					теория	опыт	
Ac-Phe-OH	Пепсин	223 и 225 **	75	360	0,75	$0,13 \pm 0,02$	$1,16 \pm 0,1$
Ac-Phe-OH	Иммобилизованный пепсин	223 и 225 **	90	360	0,9	$0,42 \pm 0,03$	$0,42 \pm 0,03$
Ac-Phe-OH	Пепсин+ Phe-Ala-Ala-OMe	223 и 225 **	75	360	0,75	$0,29 \pm 0,03$	$2,1 \pm 0,2$ (2,6) ***
H-Leu-OH	Лейцинаминопептидаза	134 ***	75	17	0,75	$0,21 \pm 0,01$	350 ± 3
H-Leu-OH	Лейцинаминопептидаза+ NH_4Cl (1M)	134 ***	75	17	0,75	$0,19 \pm 0,01$	315 ± 3 (3,63)

* Рассчитывалась по формуле (6).

** Ионизация электронами.

*** Ионизация полем.

**** В скобках дана скорость обмена за счет синтеза-гидролиза пептидной связи, рассчитанная по формуле, приведенной на с. 440.

Обмен кислорода в лейцине, катализируемый лейцинаминопептидазой, происходит за 17 мин на 28%, однако эта реакция не ускоряется при добавлении 1 М NH_4Cl , так как, по-видимому, собственный обмен протекает значительно быстрее, чем катализируемый ферментом синтез-гидролиз лейцинамида.

Теоретическую величину скорости обмена в N-ацетил-L-фенилаланине и лейцине в присутствии соответственно трипептида или NH_4Cl рассчитывали по формуле [14]

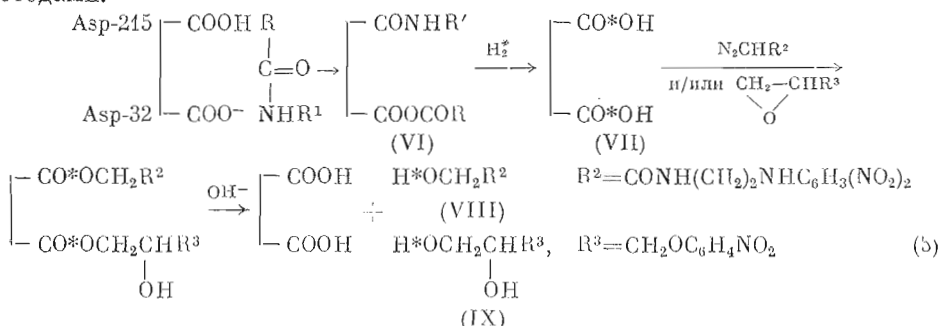
$$V = \frac{k_{\text{кат}} | S_1 |_0 | S_2 |_0 | E |_0 / K_{\text{рав}}}{K_m + \frac{| S_1 |_0 | S_2 |_0}{K_{\text{рав}}} + \frac{K_m | S_1 |_0}{K_{i(1)}} + \frac{K_m | S_2 |_0}{K_{i(2)}}},$$

где S_1 — Ac-Phe или Leu; S_2 — Phe-Ala-Ala-OMe или NH_4Cl ; $K_{\text{рав}}$ — константа равновесия синтеза-гидролиза пептидной связи; $k_{\text{кат}}$ — катализитическая константа гидролиза пептида или $\text{Leu}-\text{NH}_2$; K_m — константа Михаэлиса этих веществ; $K_{i(1)}$ и $K_{i(2)}$ — константы ингибирования соответствующими продуктами.

Для тетрапептида Ac-Phe-Phe-Ala-Ala-OMe значения $k_{\text{кат}}$ и K_m взяты из работы [18], а величина $K_{\text{рав}}$ определена в опыте по гидролизу ^{14}C меченого тетрапептида ($K_{\text{рав}}=0,3$). Величины $K_{i(1)}$ и $K_{i(2)}$ составляли соответственно 50,1 и 1,5 мМ. $K_{\text{рав}}$ гидролиза $\text{Leu}-\text{NH}_2$ рассчитана из данных [19] и принята равной $1 \cdot 10^4$. Соответствующие катализитические константы взяты из работы [20]. Расчетные данные приведены в табл. 3.

Как указывалось выше, исследования включения изотопа кислорода ^{18}O в продукты гидролиза и транспептидации целесообразно дополнить данными по включению этого изотопа в каталитически активные группы фермента. Чтобы выяснить, включается ли изотоп кислорода в каталитически активные карбоксильные группы остатков Asp-32 и Asp-215 пепсина, мы использовали схему, применявшуюся ранее [21] и давшую противоречивые результаты из-за низкого обогащения H_2^{18}O . Пепсин инкубировали в тяжелокислородной воде (~70%) с субстратом —Ac-Phe-Tyr-OH. Затем фермент ингибировали N-диазоацетил-N'-(2,4-динитрофенил) эти-

лейциниамином, образующим с карбоксильной группой остатка Asp-215 сложноэфирную связь [22]. Белок отделяли и подвергали мягкому щелочному гидролизу. Образовавшийся N-гликолил-N'-(2,4-динитрофенил)этилендиамин (VIII) отделяли гель-фильтрацией на сефадексе G-25 и анализировали на содержание ^{18}O активационным или масс-спектрометрическим методами.



Как видно из схемы 5, в случае, если карбоксильная группа остатка Asp-215 образует с С-концевым фрагментом субстрата «амилофермент» (VI), она должна обмешивать свои атомы кислорода на ^{18}O в ходе регенерации свободного фермента (VII). При этом последовательность операций на схеме 5 должна привести к обнаружению метки в гликолил-(2,4-динитрофенил)этилендиамине (VIII). Как показали результаты опытов, метка в этом продукте отсутствовала. Для подтверждения этих данных проводились опыты по выделению из пепсина аспарагиновой кислоты-215, связанной с диазонигибитором. С этой целью пепсин, ингибированный диазосоединением, после инкубации с субстратом (Ac-Phe-Түг-OH) в тяжелокислородной воде выделяли, очищали хроматографией на DEAE-целлюлозе и гидролизовали ортозином [22] в течение 16 ч при 37°C. Смесь экстрагировали n-бутианолом и подвергали высоковольтному электрофорезу на бумаге при pH 2,3 (70 В/см, 2,5 ч). Окрашенные, содержащие ингибитор полосы с электрофоретической подвижностью 3,7; 9,3 и 17,3 см элюировали и подвергали аминокислотному анализу. Продукты идентифицированы соответственно как N-гликолил-N'-(2,4-динитрофенил)этилендиамин (VIII), Asp-(VIII) и Val-Asp-(VIII). В препарате Asp-(VIII) определяли содержание ^{18}O методом активационного анализа. Оказалось, что содержание ^{18}O практически не превышает природное.

Чтобы установить, включается ли ^{18}O в остаток Asp-32, пепсин после инкубации с субстратом в тяжелокислородной воде ингибирировали 1,2-эпокси-3-(n-нитрофенокси)пропионом [23]. Обработка, аналогичная описанной выше, привела к 1-n-нитрофенилокси-2,3-пропандиолу (IX), в котором отсутствовал ^{18}O . Отсюда следует, что если в ходе гидролиза субстрата и образуется ангидрид (VI), он не расщепляется водой по карбонильной группе, принадлежащей ферменту.

Наконец, поскольку эпоксиингибитор модифицирует не только остаток Asp-32, но и Asp-215 [23], был проведен опыт по последовательному ингибированию пепсина сначала диазонигибитором, однозначно реагирующем с карбоксильной группой Asp-215, а затем с эпоксиингибитором. В смеси оксипроизводных ингибиторов, выделенной после щелочного гидролиза, масс-спектрометрически не было обнаружено избытка ^{18}O . В контрольных опытах по гидролизу эпоксида до диола в присутствии H_2^{18}O и по щелочному гидролизу ингибирированного диазосоединением и эпоксидом пепсина в H_2^{18}O было показано, что в ходе операций по гидролизу и выделению целевых веществ не происходит потери изотопной метки.

Таким образом, полученные нами данные однозначно свидетельствуют, что катализируемый пепсином и лейциниаминопептидазой гидролиз идет по общему основному механизму и агентом, непосредственно атакующим кар-

бонильный атом углерода пептида, является молекула воды. Кроме того, в обоих случаях гидролиз идет через образование относительно устойчивых тетраэдрических промежуточных соединений. При катализе пепсином остатки Asp-32 и Asp-215 не образуют так называемого «аминофермента» с С-концевым фрагментом гидролизуемого субстрата. Насколько нам известно, данные этой работы впервые демонстрируют функционирование протеолитических ферментов по общему основному механизму. В литературе высказывались предположения, основанные на данных кристаллографических исследований и других косвенных данных о том, что пеницилlopeпсин [24], термолизин [25] и, возможно, карбоксипептидаза А [26] функционируют по такому же механизму, однако прямых доказательств этому до сих пор не было.

В этой связи возникает вопрос: как при отсутствии ковалентных промежуточных соединений фрагментов субстрата с ферментом происходят реакции переноса и, в частности, реакции транспептидации? Следует допустить, что на пути от субстрата к продуктам существуют нековалентные комплексы фермента с повышенным сродством к фрагментам субстрата (ср. [27]). Таким образом, эксперименты по «перехвату» (entrapment) промежуточного соединения в ферментативной реакции совсем не обязательно в случае их успеха свидетельствуют о ковалентном механизме катализа.

Экспериментальная часть

Свиной пепсин получали хроматографией коммерческого препарата (Олайн) на DEAE-целлюлозе. Активность пепсина определяли по модифицированному методу Ансона [28]. Пепсин, иммобилизованный на аминосилохроме, получали согласно ранее опубликованным данным [17] и тщательно промывали 2 М ацетатным буфером (рН 4,5) до исчезновения в фильтрате положительной реакции на свободные аминогруппы. Кристаллическая лейцинамиопептидаза из хрусталика глаза быка была любезно предоставлена доктором Ю. Лашем (Университет им. М. Лютера, Галле, ГДР). Препарат оризина любезно предоставлен В. М. Степановым (МГУ, Москва). Равномерно меченный [¹⁴C]-L-лейцил-L-тироzinамид получали с использованием [¹⁴C]-L-лейцина (Amersham, Англия) с удельной активностью 23,8 мККи/ммоль [29]. N-([2-¹⁴C]ацетил)-L-фенилаланин с удельной активностью 111·10⁶ имп/мин·г получен по методу [7]. Метиловый эфир L-фенилалапил-L-аланил-L-аланина синтезирован с 30% выходом из бензилоксикарбонил-L-фенилаланина и метилового эфира L-аланина последовательным наращиванием пептидной цепи методом смешанных ангидридов; т. пл. 210° С, $[\alpha]_D^{20} = 3,9^\circ$ (с 0,65; диметилформамид). Аналогично получен метиловый эфир D-фенилаланин-L-алапил-L-аланина. L-Лейцинамид и L-лейцил-L-лейцинамид синтезировали согласно опубликованным данным [30]. Для получения [¹⁸O]-L-лейцинамида метиловый эфир L-лейцина гидролизовали в H₂¹⁸O (67 ат. %) в присутствии 0,01 н. NaOH. N-Ацетил-L-фенилалапил-L-тироzin получали по методу [31]. Использовали тяжелокислородную воду (Amersham, Англия) с содержанием ¹⁸O 50–90 ат. %. Все остальные реагенты были марки х. ч.

Реакция транспептидации, катализируемая пепсином. 24 мг [¹⁴C]-L-лейцил-L-тироzinамида растворяли в 10 мл 0,2 М натрий-ацетатного буфера, рН 3,6, приготовленного на H₂¹⁸O. К раствору добавляли 13 мг пепсина и смесь инкубировали 72 ч при 20° С. Затем раствор лиофильно высушивали и остаток растворяли в 0,01 М аммоний-ацетатном буфере, рН 5,6. Белок отделяли на колонке с сефадексом G-75 (1,5×100 см). Фракцию, содержащую низкомолекулярные компоненты, упаривали в вакууме досуха и подвергали фракционированию одним из следующих способов: А) 10 мг сухого остатка растворяли в 0,1 М аммоний-бикарбонатном буфере, рН 8,45, и наносили на лист бумаги Whatman 3 MM шириной 20 см. Электрофорез

проводили в течение 3 ч при 70 В/см. Лист высушивали, разрезали на полосы длиной 2 см и определяли радиоактивность на сцинтилляционном счетчике SL-30 Intertechnique. Области, соответствующие [¹⁴C]-Leu-Leu-OH и [¹⁴C]-Leu-Tyr-NH₂, вырезали и элюировали 0,05 н. HCl. Элюаты упаривали досуха.

Б) 2,5 мг сухого остатка растворяли в метаноле (50 мкл) и наносили узкой полосой на пластинку (5×20 см) со слоем силикагеля (Merck) толщиной 0,2 мм. Хроматографию проводили в системе метанол — этилацетат — конц. NH₃, 35 : 65 : 3. Пластинку после высушивания проявляли по краю циннадрином и зоны, соответствующие [¹⁴C]-Leu-Leu-OH и [¹⁴C]-Leu-Tyr-NH₂, элюировали 5% уксусной кислотой (3×3 мл). Чистоту препаратов контролировали аминокислотным анализом и N-концевым анализом с дансильтхлоридом. В случае неизомогенности препараты дополнитель но хроматографировали на пластинках с целлюлозой MN 300 в системе бутанол — пиридин — вода — уксусная кислота, 60 : 40 : 48 : 12.

Подготовка образцов для анализа на ¹⁸O. 0,2 мг [¹⁴C]лейцил-лейцина превращали в метиловый эфир трифторацетил-лейцил-лейцина этерификацией диазометаном и ацилированием трифторуксусным ангидридом. Лейцил-лейцин и лейцил-тирозинамид превращали в триметилсилильные производные [32], а лейцил-тирозинамид ацилировали N-окси-сукининимидным эфиром лауриновой кислоты [33].

Транспептидация лейцинамида, катализируемая лейцинаминопептидазой. К 0,3 М раствору лейцинамида в 0,05 М трис-HCl-буфере, pH 8,5, приготовленном на H₂¹⁸O, добавляли раствор лейцинаминопептидазы (концентрация в смеси 5·10⁻⁷ М) и инкубировали при 22°C 2 мин. Смесь быстро замораживали при -70°C и лиофилизовали. Разделение компонентов осуществляли на бумаге Whatman 3 MM хроматографией в системе n-бутанол — вода — муравьиная кислота, 8 : 1 : 1. Зоны, соответствующие Leu-Leu-NH₂ и Leu-NH₂, вырезали и элюировали 0,1 М уксусной кислотой. Препараты дополнительно очищали хроматографией на колонке с сефадексом G-10. Аналогично проводили реакцию с ¹⁸O-лейцинамидом, используя H₂¹⁶O.

Определение скорости обмена кислорода в ацетил-L-фенилаланине. А) 4 мг N-([2-¹⁴C]ацетил)-L-фенилаланина растворяли в 1 мл H₂¹⁸O (75 ат. %) и добавляли 0,05 мл 2 М ацетатного буфера, pH 4,5, и 1 мг пепсина или 5 мг пепсина, иммобилизованного на аминосилохроме (содержание активного фермента 20%). Смесь инкубировали при 20°C в течение 1–6 ч, затем pH доводили до 10 и подкисляли до pH 2. Белок отделяли центрифугированием и супернатант экстрагировали этилацетатом. Ацетил-L-фенилаланин очищали хроматографией на пластинке с силикагелем и превращали в метиловый эфир действием диазометана.

Б) Опыт проводили как описано в «А», но с добавкой 10,7 мг метилового эфира L-(или D)-фенилаланил-аланил-аланина. Трипептид извлекали этилацетатом при pH 10, а ацетил-L-фенилаланин — тем же растворителем при pH 2. Анализ на ¹⁸O проводили в виде метилового эфира N-ацетил-L-фенилаланина.

Определение скорости обмена кислорода в лейцине. Лейцинаминопептидазу, активированную в течение 30 мин при 37°C 0,01 М раствором MgCl₂ [16], добавляли в смесь, содержащую H₂¹⁸O (75 ат. %), 0,1 М лейцин, 0,01 М MgCl₂ и 0,01 М NaH₂PO₄ (pH 7,0). Конечная концентрация фермента 6,13 мкМ. Смесь инкубировали 17 мин при 37°C, затем быстро замораживали и лиофилизовали. Остаток сушили над P₂O₅ и анализировали масс-спектрометрически. Аналогичный опыт был проведен в присутствии 1 М NH₄Cl.

Включение тяжелого кислорода из H₂¹⁸O в пепсин. 19 мг ацетил-L-фенилаланил-L-тирозина растворяли в 10 мл H₂¹⁸O, доводили до pH 4 ацетатом натрия и вносили 100 мг пепсина. Смесь инкубировали 30 мин при 37°C.

А) pH доводили до 5,6, добавляли 15 мг CuSO₄·5H₂O и через 10 мин 9 мг диазоацетил-(2,4-динитрофенил)этилендиамина в 10 мкл ацетона. Смесь выдерживали 1 ч при 20° С. Остаточная активность составляла 10%. Смесь лиофилизовали и остаток растворяли в 10 мл 0,01 н. аммоний-ацетатного буфера, pH 5,8, и диализовали против того же буфера. Степень включения ингибитора определяли по поглощению при 360 и 280 нм (ϵ_{360} 16 000, ϵ_{280} 7180). Степень включения составляла 1±0,1 моль на моль белка. Смесь лиофильно высушивали, растворяли в воде и доводили pH до 10,5 конц. NH₄OH. Раствор выдерживали 72 ч при 45° С и фракционировали на колонке (1,5×80 см) с сефадексом G-25. Скорость элюции 12 мл/ч. Собирали фракцию гликолил-(2,4-динитрофенил)этилендиамина, лиофильно высушивали и анализировали на содержание ¹⁸O.

Б) Раствор пепсина (0,24 мМ) после окончания инкубации с Ac-Phe-Tug разбавляли водой до 25 мл, доводили до pH 3,0 уксусной кислотой и добавляли 113 мг 1,2-эпокси-3-(*n*-нитрофенокси)пропана. Смесь оставляли на 72 ч при 10° С. Остаточная активность пепсина 30%. Смесь лиофилизовали, остаток растворяли в 25 мл 0,01 н. аммоний-ацетатного буфера, pH 5,8, и диализовали. Степень включения ингибитора, определенная по поглощению при 315 и 280 нм (ϵ_{315} 11 000, ϵ_{280} 4960), составляла 1,7 моль на моль белка. Раствор лиофильно высушивали, растворяли в воде и доводили pH до 10,5 конц. NH₄OH, выдерживали 72 ч при 45° С и затем фракционировали на сефадексе G-25. Фракцию 1,2-диокси-3-(*n*-нитрофенокси)пропана собирали, высушивали и анализировали на содержание ¹⁸O.

В) Пепсин после инкубации с Ac-Phe-Tug обрабатывали диазонигибитором, как описано в «А», и после исчерпывающего днализа обрабатывали эпоксииггибитором, согласно «Б». Соотношение белок — диазонигибитор — эпоксииггибитор 1 : 0,8 : 1,7. Препарат гидролизовали по описанному выше методу и смесь гликолил-(2,4-динитрофенил)этилендиамина и 1,2-диокси-3-(*n*-нитрофенокси)пропана анализировали масс-спектрометрически на содержание ¹⁸O.

Г) Инкубацию пепсина с Ac-Phe-Tug в H₂¹⁸O и ингибирование диазонигибитором проводили как в «А». По окончании ингибирования смесь лиофилизовали, растворяли в 10 мл 0,05 М трис-буфера, pH 7,5, и фракционировали на колонке с сефадексом G-25. Белковую фракцию очищали хроматографией на колонке с DEAE-целлюлозой (1,5×16 см), уравновешенной 0,05 М трис-буфером, pH 7,5, в градиенте 0,8 М NaCl. Белок обессоливали на колонке с сефадексом G-25 в аммоний-ацетатном буфере, pH 5,6, и лиофильно высушивали. Ингибиованный пепсин растворяли в 0,1 М ацетатном буфере, pH 5,0 (концентрация 10 мг/мл), и добавляли 1/6 часть (от веса белка) препарата орезина. Гидролиз 16 ч вели при 37° С. Смесь экстрагировали (5×10 мл) *n*-бутанолом, экстракт сушили и упаривали. Остаток растворяли в этиловом спирте, наносили на полоску бумаги Whatman 3 MM шириной 30 мм и подвергали электрофорезу в 0,1 М аммоний-формиатном буфере, pH 2,3, в течение 2,5 ч при 70 В/см. По окончании электрофореза области, содержащие ингибитор, элюировали 10% уксусной кислотой, высушивали и определяли аминокислотный состав. Фракцию, содержащую только аспарагиновую кислоту, анализировали на содержание ¹⁸O.

Д) В контрольных опытах эпоксииггибитор подвергали гидролизу в H₂¹⁸O [23] и в полученном диюле определяли содержание ¹⁸O. Препараты пепсина, ингибиованные в отдельности диазо- и эпоксииггибиторами, подвергали щелочному гидролизу в условиях, описанных в «А», но в H₂¹⁸O. Выделяли гликолил- и диолльное производные и определяли в них содержание ¹⁸O.

Определение содержания ¹⁸O. Содержание ¹⁸O в образцах определялось хромато-масс-спектрометрией на приборе LKB 9000; масс-спектрометрией с ионизацией полем на приборе Varian MAT CH-5; основочной масс-спектрометрией на приборе MX-1303.

Содержание ^{18}O рассчитывали по формуле

$$^{18}\text{O} (\text{ат. \%}) = \frac{|M+2|^{+}}{|M|^{+} + |M+2|^{+}} \cdot 100,$$

где $|M|^{+}$ и $|M+2|^{+}$ — интенсивности пиков, соответствующих фрагментам, содержащим изотопы ^{16}O и ^{18}O . В опытах по обмену кислорода в ацетилфенилаланине и лейцине измерялась интенсивность пиков $|M|^{+}$, $|M+2|^{+}$ и $|M+4|^{+}$, доля обмена (N) ^{18}O определялась по формуле

$$N = \frac{\left| \frac{M+2}{2} \right|^{+} + |M+4|^{+}}{|M|^{+} + |M+2|^{+} + |M+4|^{+}}. \quad (6)$$

Авторы выражают свою благодарность В. Л. Садовской и О. С. Решетовой за помощь в съемке масс-спектров и М. Ю. Фейгиной за выполнение N-концевого анализа соединений.

ЛИТЕРАТУРА

1. Antonov V. K. (1977) Advances Exptl Med. and Biol., **95**, 179–198.
2. Antonov V. K., Ginodman L. M., Kapitannikov Yu. V., Barshevskaya T. N., Gurova A. G., Rumch L. D. (1978) FEBS Lett., **88**, 87–90.
3. Антонов В. К., Явашев Л. Н., Волкова Л. И., Садовская В. Л., Гинодман Л. М. (1979) Биоорган. химия, **5**, 1427–1429.
4. Bender M. L., Kezdy F. J. (1964) J. Amer. Chem. Soc., **86**, 3704–3714.
5. Lowe G., Williams A. (1965) Biochem. J., **96**, 199–204.
6. Erland R. M. (1969) Biochem. and Biophys. Res. Commun., **37**, 313–318.
7. Лякишева А. Г., Гинодман Л. М., Антонов В. К. (1973) Молекуляри. биология, **7**, 810–816.
8. Fasteres J., Fersht A. R. (1973) Biochemistry, **12**, 2025–2034.
9. Bender M. L., Ginger R. D., Unik J. P. (1958) J. Amer. Chem. Soc., **80**, 1044–1048.
10. Гинодман Л. М., Мальцев Н. И., Орехович В. И. (1966) Биохимия, **31**, 1073–1078.
11. Breslow R., Wernick D. L. (1977) Proc. Nat. Acad. Sci. USA, **74**, 1303–1307.
12. Fruton J. S., Fugji S., Knappenberger M. H. (1961) Proc. Nat. Acad. Sci. USA, **47**, 759–765.
13. Fruton J. S. (1976) Advances. enzymol. and related subjects biochem., **44**, 1–35.
14. Takahashi M., Wang T. T., Holmann T. (1974) Biochem. and Biophys. Res. Commun., **57**, 39–46.
15. Гусинский Г. М., Лемберг И. Х., Капитанников Ю. В., Гинодман Л. М. (1979) Докл. АН СССР, **249**, 1002–1005.
16. Hanson H., Lasch J. (1967) Hoppe-Seyler's Z. physiol. Chem., **348**, 1525–1539.
17. Крылова Ю. И., Козлов Л. В., Антонов В. К., Гаина Б. С., Датунашвили Е. И., Павленко Н. М. (1976) Биоорган. химия, **2**, 273–278.
18. Зинченко А. А., Румян Л. Д., Антонов В. К. (1977) Биохимия, **3**, 1663–1670.
19. Borsook H., Dubnoff J. W. (1940) J. Biol. Chem., **132**, 307–324.
20. Hanson H., Frohne M. (1976) Methods in Enzymol. (Lorand L. ed.), vol. 45, pp. 504–521, Acad. Press, N. Y.–San Francisco – London.
21. Гинодман Л. М., Валусева Т. А., Козлов Л. В., Шкаренкова Л. С. (1969) Биохимия, **34**, 211–213.
22. Stepanov V., Vaganova T. I. (1968) Biochem. and Biophys. Res. Commun., **31**, 825–830.
23. Tang J. (1971) J. Biol. Chem., **246**, 4510–4517.
24. James M. N., Hsu I. N., Delbaere L. I. J. (1977) Nature, **267**, 808–813.
25. Weaver L. H., Kester W. R., Matthews B. W. (1977) J. Mol. Biol., **114**, 119–132.
26. Breslow R., Wernick D. L. (1976) J. Amer. Chem. Soc., **98**, 259–261.
27. Sachdev G. P., Fruton J. S. (1975) Proc. Nat. Acad. Sci. USA, **72**, 3424–3427.
28. Anson M. L. (1938) J. Gen. Physiol., **22**, 79–84.
29. Fruton J. S., Johnston R. B., Fried M. (1951) J. Biol. Chem., **190**, 39–53.
30. Smith E. L., Spackman D. H. (1955) J. Biol. Chem., **212**, 255–262.
31. Baker L. E. (1951) J. Biol. Chem., **193**, 809–814.
32. Kalbacher H., Konig W. A., Valter W. (1973) Z. physiol. Chem., **356** S, 1827–1829.
33. Мирошиников А. И., Кирюшкин А. А., Овчинников Ю. А. (1970) Ж. общ. химии, **40**, 429–442.

Поступила в редакцию
27.VII.1979

HOW TO DISTINGUISH THE COVALENT AND GENERAL BASE MECHANISMS OF ENZYMIC HYDROLYSIS?

ANTONOV V. K., GINODMAN L. M., RUMSH L. D., KAPITANNIKOV Yu. V.,
BARSHEVSKAYA T. N., YAVASHEV L. P., GYROVA A. G., VOLKOVA L. I.

*M. M. Shemyakin Institute of Bioorganic Chemistry, Academy
of Sciences of the USSR, Moscow*

The methods have been developed to distinguish the covalent and general base mechanisms of hydrolysis catalyzed by proteolytic enzymes. The approach is based in the ^{18}O incorporation into the products of the enzyme catalyzed acyl transfer transpeptidation, non-hydrolysed substrate, or into catalytically active groups of the enzyme, as well as on the comparison of the ^{18}O exchange rates for carboxylic group of the acyl product with or without the second, amine product of hydrolysis. These methods are used for analysis of pepsin and leucine aminopeptidase action. A peptide bond cleavage catalyzed by these enzymes obeys the general base mechanism: their catalytically active groupings facilitate the proton abstraction from the water molecule attacking the susceptible bond. The structure of intermediates for this type of catalysis is discussed.
